

## KATALYTICKÉ SPALOVÁNÍ SMĚSÍ ORGANICKÝCH EMISÍ

JIŘÍ MALECHA, LENKA MELENOVÁ  
a SERGEJ SKOBLJA

*Ústav plynárenství, koksochemie a ochrany ovzduší, Vysoká škola chemicko-technologická, Technická 5, 166 28 Praha 6,  
e-mail: Jiří.Malecha@vscht.cz, Lenka.Melenova@vscht.cz, Sergej.  
Skoblja @vscht.cz*

Došlo dne 5.X.2000

**Klíčová slova:** ochrana ovzduší, katalytické spalování, těkavé organické látky

### 1. Úvod

Životní prostředí je neustále ohrožováno lidskou činností. Jedním z velkých zdrojů znečištění je uvolňování uhlovodíků do ovzduší při používání rozpouštědel. V současné době je snaha minimalizovat používání těchto látek, ale pro své velmi dobré vlastnosti se zatím nedají plně nahradit. Je tedy nutné přistoupit k následné likvidaci škodlivin ještě před vypouštěním do atmosféry.

Jednou z užívaných metod je katalytické spalování organických látek<sup>1</sup>. Katalytického spalování se využívá především proto, že kromě účinné sanace, která vede k přeměně organické látky až na CO<sub>2</sub> a H<sub>2</sub>O, vychází vstříc i ekonomickým problémům chemických výrob. Méně známé a minimálně studované jsou vzájemné vlivy složek směsí organických rozpouštědel, jež se dají metodou katalytického spalování eliminovat až na přijatelné a legislativou povolené emisní limity<sup>2</sup>. K co nejbližšímu přiblížení se realitě byly ke studiu vzájemného ovlivňování složek směsí vybrány pro katalytické spalování podobné nebo identické látky obsažené v komerčně dostupných ředidlech.

### 2. Experimentální část

#### 2.1. Použité látky

Pro analýzu a následné spalování byla použita komerčně běžně dostupná rozpouštědla: NITRO ředidlo označené 6000; syntetická ředidla s označením 6001, 6005 a 6006; epoxidové ředidlo 6300 a univerzální ředidlo 6500. Na základě provedené GC-MS analýzy používaných technických rozpouštědel byly dále zvoleny čisté organické látky: aceton, toluen, xylen, *n*-heptan a butyl-acetát, které se kromě samotného spalování použily i pro přípravu dvousložkových směsí. K testování byl také použit syntetický denaturovaný alkohol (ethanol + 5 hm.% methanol) – dále v textu je uveden pouze jako alkohol. Připravené směsi: *n*-heptan + alkohol (objemově 2:1), *n*-heptan + toluen (obj. 1:1), toluen + butyl-acetát (obj. 1:1), toluen + aceton (obj. 7:3).

Pro testování byly vybrány dva typy katalyzátorů. První byl komerčně vyrobený katalyzátor na bázi platiny a paladia

na korundovém nosiči o průměru kuliček 4 mm – označen Pt/Pd (0,1:0,1 hm.%). Jako druhý se použil katalyzátor s aktivními složkami mědi a mangani ve formě oxidů – označen Cu/Mn. Tento katalyzátor byl připraven v naší laboratoři a má složení 3 hm.% Cu a 2 hm.% Mn na kuličkové alumině o průměru 4 mm.

#### 2.2. Přístrojová technika

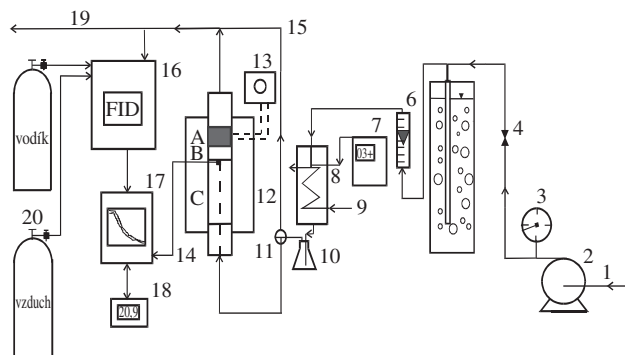
K testování byla sestavena aparatura, jež dovolovala zjišťovat aktivitu katalyzátoru při proměnné teplotě za konstantního průtoku vzduchu (400 l.hod<sup>-1</sup>) a obsahu dávkované látky (čistá látka nebo směs) v rámci možného nastavení koncentrace 4 g.m<sup>-3</sup>. Při měření bylo vždy použito 9 g katalyzátoru, což odpovídá 15 ml. Prostorové zatížení katalyzátoru tedy bylo vypočítáno na 26 667 hod<sup>-1</sup> (cit.<sup>4,5</sup>). Na začátku pokusu byla nastavena teplota v reaktoru na 100 °C a po ustálení koncentrace na výstupu se začalo měření zvyšováním teploty rychlostí 3 °C.min<sup>-1</sup>. Vzestup teploty se zastavil po dosažení konverze nad 95 %, anebo teploty 700 °C, pak reaktor volně chladl.

Průběh pokusu byl zaznamenán na XY zapisovači, kde osa x byla teplota a osa y byla výstup z analyzátoru. Vyhodnocení se provedlo ze záznamu výpočtem stupně konverze jako poměru aktuální výšky signálu k signálu bez konverze (při teplotě 100 °C). Schéma aparatury je uvedeno na obr. 1.

Hrubý rozbor používaných komerčních ředidel byl proveden na plynovém chromatografu s hmotnostním detektorem (GC-MS technika). K analýze byl použit plynový chromatograf HP 6890 s elektronickou regulací průtoku (EPS) opatřený hmotnostním detektorem HP MSD 5973 (Hewlett Packard). Byla použita kapilární kolona s nepolárním filmem XT1-5.

Pro studium složení organických látek vznikajících během spalování testovaných vzorků na výstupu z reaktoru byly odebrány vzorky plynu. Odběr se prováděl při různých teplotách (v okolí 10, 50 a 95 % konverze) na aktivní uhlí v trubičkách. Z aktivního uhlí se pak provedla extrakce sirouhlíkem.

Analýzou bylo zjištěno, že ředidla se vyrábí z různých destilačních podílů a vzhledem k mnohdy širokému množství složek byly vybrány jen dominantní látky se zastoupením nad 5 hm.% (cit.<sup>6</sup>). Zjištěné složení je uvedeno v tabulce I.



Obr. 1. Schéma použité aparatury: 1 – vstup vzduchu, 2 – čerpadlo, 3 – manometr, 4 – redukční membránový ventil, 5 – manostat, 6 – průtokoměr vzduchu, 7 – HPP dávkovač, 8 – průtočný ohřívač, 9 – termo-statovaná voda, 10 – vyrovnávací láhev, 11 – trojcestný kohout, 12 – reaktor, A vrstva katalyzátoru, B keramická vložka, C vrstva křemenné drti, 13 – regulátor teploty, 14 – termoclánek, 15 – obtok, 16 – plameno-ionizační detektor, 17 – zapisovač, 18 – digitální teploměr, 19 – výstup odpadního plynu, 20 – tlakové lahve vodíku a vzduchu

**Tabulka I**  
Přibližné složení komerčních ředidel (uvezeny látky nad 5 hm.%)

Ředitlo	Složka	Retenční čas [min]	Zastoupení [%]
6000	toluen	2,72	76,9
	2-methylpropan-1-ol	1,88	7,9
	aceton	1,59	7,8
6001	ethyl-acetát	1,84	7,1
	toluen	2,71	33,2
6005	n-dekan	5,47	6,2
	n-nonan	4,07	5,9
6006	m- a p-xylen	3,77	41,1
	o-xylen	4,08	9,8
	toluen	2,71	31,4
	ethylbenzen	3,68	17,6
6300	destilační frakce benzingu C <sub>8</sub> –C <sub>11</sub> v rozmezí bodu varu 125–195 °C při norm. tlaku, největší zastoupení:		
	n-nonan	4,08	10,3
6500	n-dekan + trimethylbenzen	5,48	8,8
	m- a p-xylen	3,77	39,2
	o-xylen	4,08	10,2
	2-methylpropan-1-ol	1,87	17,5
	ethylbenzen	3,68	12,2
	2-methylbutyl-acetát	3,82	6,3
	toluen	2,99	24,0
	m- a p-xylen	4,30	17,8
	ethyl-acetát	1,84	16,9
	butan-1-ol	2,10	12,1
	ethylbenzen	4,19	6,8

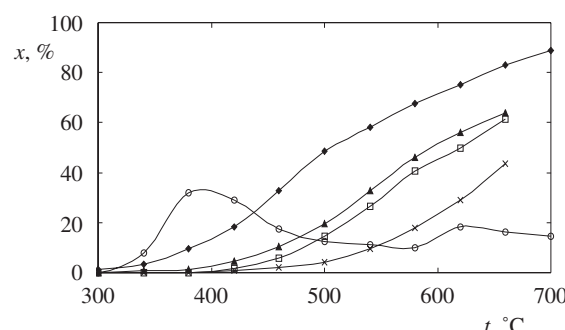
### 3. Výsledky a diskuse

Všechny testované látky byly spalovány v integrálním trubkovém reaktoru jednak bez katalyzátoru, jenak na Pt/Pd a Cu/Mn katalyzátoru o stejné hmotnosti.

#### 3.1. Spalování čistých látek

Ze spalování čistých látek v nepřítomnosti katalyzátoru vyplývá, že ani jedna látka nedosahuje v teplotním intervalu do 700 °C 90 % konverze. Nejlépe se spaloval aceton, který dosáhl 80 % konverze při 644 °C. Z proměných látek se nejdříve začal přeměňovat n-heptan, ale v okolí teploty 350 °C docházelo ke krakování, tvorbě sazí a zápacu. Tvorba následných produktů vedla ještě ke snížení konverze než byla před krakováním. Průběh konverzních křivek bez přítomnosti katalyzátoru je znázorněn na obr. 2.

Spalování s Pt/Pd katalyzátorem bylo vzhledem k dosažení konverzí při nižších teplotách účelné pro všechny organické látky. Nejlépe se spaloval toluen a xylen, hůře naopak aceton a butyl-acetát. K 90 % konverzi docházelo u tolenu při 221 °C. Xylen naopak dosáhl nejdříve 100 % přeměny při 400 °C. Nejhůře se spaloval n-heptan, neboť během přeměny docháze-



Obr. 2. Závislost konverze (x) spalování čistých látek bez přítomnosti katalyzátoru na teplotě (t); ○ n-heptan, ◆ aceton, ▲ xylen, □ toluen, × butyl-acetát

**Tabulka II**  
Aktivity katalyzátorů při spalování čistých látek

Katalyzátor	Konverze	Spalovaná látka			
		aceton	toluen	xylen	n-heptan
Pt/Pd	T <sub>10</sub> [°C]	169	172	183	169
	T <sub>50</sub> [°C]	278	189	202	237
	T <sub>90</sub> [°C]	324	221	222	291
Cu/Mn	T <sub>10</sub> [°C]	171	223	205	232
	T <sub>50</sub> [°C]	240	291	279	301
	T <sub>90</sub> [°C]	273	344	321	397
					292

lo ke vzniku sazí a dehtu, jež se usazovaly ve všech spojích aparatury. Též vznikal dosti znatelný zápac. Po proměně této látky musela být aparatura rozebrána a vyžíhána.

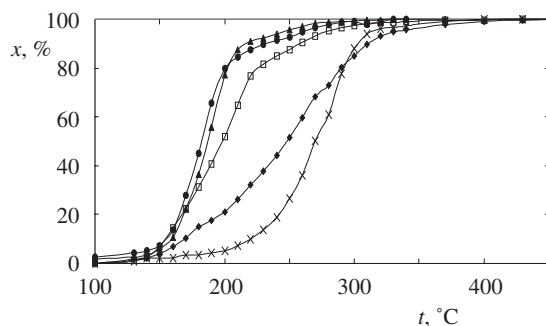
Oxidický katalyzátor z Cu/Mn se ukázal pro spalování kyslíkatých sloučenin lepší než Pt/Pd katalyzátor. Nejlépe se spaloval aceton a butyl-acetát. Aceton dosáhl i 100 % konverze při 370 °C. Nejhůře se naopak spaloval n-heptan. Při spalování n-heptanu na tomto katalyzátoru již nedocházelo k tak velkému vzniku sazí jako u předchozího spalování s Pt/Pd katalyzátorem, nebo i bez použití katalyzátoru. Aparatura po měření zůstala čistá.

Teploty při kterých bylo dosaženo 10, 50 a 90 % konverze během spalování čistých látek za použití Pt/Pd a Cu/Mn katalyzátorů udává tabulka II.

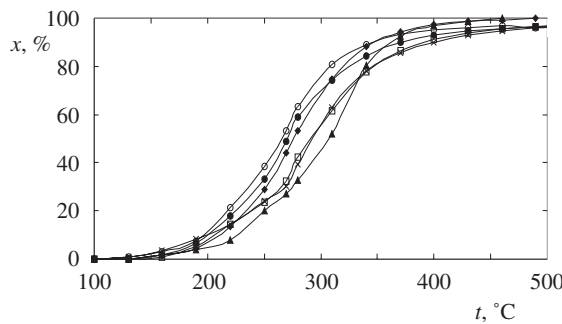
#### 3.2. Spalování připravených směsí

Při testování připravených směsí bez použití katalyzátoru byla nejlépe spalována směs ethanolu a methanolu.

Při spalování směsí na Pt/Pd katalyzátoru se nejlépe chovaly ty, jež obsahovaly toluen. Úplného spálení (100 % konverze) dosáhla směs tolenu s butyl-acetátem při 330 °C. Tato směs v poslední fázi přeměny předčila i připravenou směs z tolenu a acetonu, která se z 90 % přeměnila téměř o 20 °C dříve. Všechny ostatní směsi dosáhly 100 % konverze do teploty 460 °C. Nejhůře se spaloval n-heptan s alkoholem, ale oproti spalování čistého n-heptanu se již tolik netvořily saze a dehet. Porovnat aktivitu Pt/Pd katalyzátoru při spalování jednotlivých připravených směsí lze z obr. 3.



Obr. 3. Závislost konverze spalování směsí na Pt/Pd katalyzátoru na teplotě; ● toluen + butyl-acetát, ▲ toluen + aceton, □ n-heptan + toluen, ◆ alkohol, × n-heptan + alkohol



Obr. 4. Závislost konverze spalování komerčních ředitel na Cu/Mn katalyzátoru na teplotě; ○ 6300, ● 6500, ◆ 6000, □ 6001, × 6006, ▲ 6005

Průběh spalování směsí na Cu/Mn katalyzátoru probíhal též u všech látek stejně. Nejlépe, s rozdílem 50 °C, se oproti ostatním směsím spalovala směs alkoholu.

### 3.3. Spalování technických rozpouštědel

Nekatalytické spalování technických rozpouštědel probíhalo lépe než u použitých čistých látek a připravených směsí, nejlépe bylo spalováno ředitlo 6005 a nejhůře 6006.

Velmi vhodné se ukázalo použít Pt/Pd katalyzátoru, s nímž všechna rozpouštědla dosáhla 90 % konverze do teploty 264 °C.

Při spalování ředitel na Cu/Mn katalyzátoru bylo nutné zvýšit teplotu zhruba o 50 °C, aby bylo dosaženo stejných konverzí jako u Pt/Pd katalyzátoru, který byl tedy pro použití ředitla aktivnější. Příběh spalování všech ředitel byl na oxidickém katalyzátoru (obr. 4) méně strmý než na katalyzátoru ze vzácných kovů, což svědčí o jeho nižší aktivitě.

### 3.4. Vliv složení spalovaných látek na jejich přeměnu

Při spalování testovaných organických látek bylo zjištěno, že některé látky mohou pozitivně, ale i negativně ovlivnit destrukci jiných látek. Vzájemné ovlivnění spalovaných laboratorně připravených směsí a komerčních ředitel proti příslušné čisté látce, která byla prioritní složkou směsi, ukazuje tabulka III.

Tabulka III

Vzájemné ovlivňování spalovaných směsí či ředitel proti spalované čisté látce při 10, 50 a 90% konverzi

Čistá látká	Příměs nebo ředitlo	Výsledný efekt na konverzi <sup>a</sup>					
		bez kat.		Pt/Pd		Cu/Mn	
		T10	T50	T90	T10	T50	T90
Toluen	aceton	+	-	+	0	+	+
	butyl- -acetát	-	-	+	+	+	0
n-Heptan	toluen	-	-	+	+	+	0
	alkohol	-	-	-	+	+	-
Toluen	6000	+	+	+	0	0	+
	6001	+	+	+	+	+	0
	6005	+	+	0	0	+	-
Xylen	6500	+	+	+	0	-	+
	6005	+	+	+	+	+	-
	6300	+	+	+	-	+	-

<sup>a</sup> + = zlepšení, - = zhoršení, 0 = neovlivněno, prázdné místo v tabulce = konverze nebyla dosažena

Na základě 90 % konverze spalování organických látek při použití určitého katalyzátoru byla vytvořena řada testovaných látek podle stoupající teploty spalování (klesající aktivity):

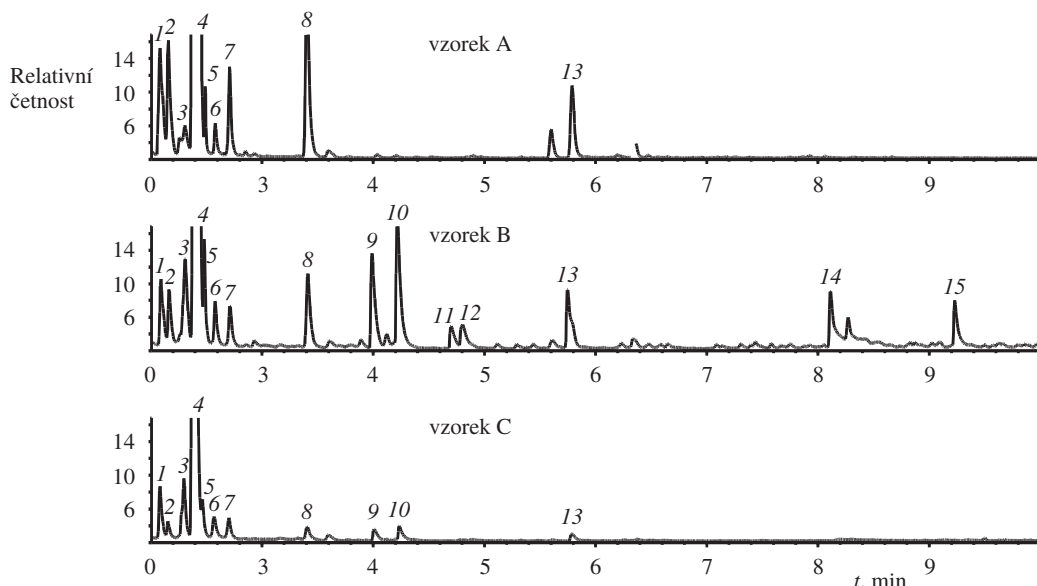
- Pt/Pd katalyzátor – 6005 (při 207 °C) > 6006 > 6001 > směs toluen + aceton > toluen > xylen > 6000 > směs toluen + butyl-acetát > 6300 > směs n-heptan + toluen > 6500 > n-heptan > směs n-heptan + alkohol > butyl-acetát > alkohol > aceton (při 324 °C),
- Cu/Mn katalyzátor – aceton (při 273 °C) > alkohol > butyl-acetát > xylen > 6300 ≈ směs toluen + butyl-acetát ≈ toluen > 6000 > směs toluen + aceton > 6005 > 6500 > 6001 > n-heptan > 6006 ≈ směs n-heptan + toluen > směs n-heptan + alkohol (při 430 °C).

Při měření bylo tedy zjištěno, že aceton, směs alkoholů a butyl-acetát dosáhly na Cu/Mn katalyzátoru 90 % konverze při nižších teplotách než na Pt/Pd katalyzátoru. Ostatní testované látky se lépe spalovaly na Pt/Pd katalyzátoru.

### 3.5. Složení reakční směsi v průběhu katalytického testu

Při interpretaci výsledků chromatografické analýzy byly sečteny plochy chromatografických pásků všech organických látek nalezených ve vzorku. Pro zjednodušení bylo předpokládáno, že všechny přítomné látky mají stejné odezvy v TIC modu. Celkové množství organických látek na výstupu lze odhadnout z hodnoty konverze pro danou teplotu. Protože v některých případech spalování vznikalo velké množství obtížně identifikovatelných meziproduktů přítomných v nízkých koncentracích, bylo rozhodnuto zaměřit se hlavně na látky s obsahem větším než 1 hm.%. Některé nalezené organické látky nepatřily k meziproduktům odbourávání a transformace, ale byly již přítomné v původním rozpouštědle (methylcyklohexan, heptan, benzen, ethylbenzen, cyklohexany atd.).

S rostoucí teplotou klesá celkové množství organických



Obr. 5. Záznam chromatografických analýz vzorků plynu ze spalování směsi *n*-heptanu s alkoholem na Cu/Mn katalyzátoru; vzorek A o celkové integrační ploše  $9,15 \cdot 10^8$  (odběr při  $230\text{--}260^\circ\text{C}$ , 10 litrů), vzorek B o integrační ploše  $9,58 \cdot 10^8$  (odběr při  $278\text{--}318^\circ\text{C}$ , 10 litrů), vzorek C o integrační ploše  $4,01 \cdot 10^8$  (odběr při  $560\text{--}62^\circ\text{C}$ , 20 litrů), rel. četnost je na obr. uvedena v hodnotách  $\times 10^5$ . Identifikované láky – 1: 2-methylhexan + cyklohexan + benzen; 2: 3-methylhexan; 3: 1-propoxypropan + hepten; 4: *n*-heptan; 5: hept-2-en; 6: hepten + oxosloučenina; 7: methylcyklohexan; 8: toluen; 9: 5-ethyl-2,5-dihydrofuran-2-on; 10: alkyltetrahydrofuran; 11: alkyloxiran; 12: alkyloxiran + alkohol; 13: tetrahydrofurfurylkohol; 14: heptan-2,4-dion; 15: 5-ethyl-5-methyl-2,5-dihydrofuran-2-on

látek na výstupu z reaktoru, což se projevuje snížením plochy chromatografických pásů. V některých případech se s teplotou měnil poměr mezi příměsí a majoritní spalovanou látkou. Tento fakt prokazuje různou stabilitu odlišných typů látek vůči danému katalyzátoru.

Z hlediska tvorby produktů nedokonalého spalování byly nejhorší výsledky naměřeny při spalování *n*-heptanu, zvláště na Cu/Mn katalyzátoru (obr. 5). V tomto případě byla pozorována tvorba značného množství, mnohdy těžko identifikovatelných kyslíkatých sloučenin (alkoholy, aldehydy, ketony, oxirany), které způsobovaly nepříjemný pach.

#### 4. Závěr

Na základě pokusů bylo dokázáno rozdílné chování různých typů látek na klasickém Pt/Pd a oxidovém Cu/Mn katalyzátoru. Dále bylo zjištěno, že aromatické uhlovodíky a komerční ředitla se lépe spalují na kovovém katalyzátoru, kyslíkaté látky naopak na oxidovém katalyzátoru. Nejhůře se ze spalovaných látek choval *n*-heptan, kdy jeho spalováním vznikaly různé meziprodukty, saze a dehtovité látky. Měřením byla prokázána možnost sledování vznikajících meziproduktů, produktů dokonalého i nedokonalého spalování a jejich úbytek pomocí GC-MS techniky. Analýze předcházela adsorpce na aktivní uhlí s desorpcí rozpouštědlem. Pro studium plynných meziproduktů bylo vhodnější použít termickou desorpci v on-line provedení.

#### LITERATURA

- Kuraš M.: *Odpady, jejich využití a zneškodňování*. VŠCHT, Praha 1994.

- Jirátová K., Morávková L., Círová A., Říčánek M.: Chem. Prum. 5, 136 (1995).
- Pokorná Š.: *Diplomová práce*. VŠCHT, Praha 1998.
- Muchlenov I. P., Dobkinová J. I., Derjužkinová V. I., Sokoro V. J.: *Technologie katalyzátorů*. SNTL, Praha 1985.
- Koubek J., Kraus M., Schneider P.: *Technická katalýza*, 1. díl. VŠCHT, Praha 1990.
- Melenová L.: *Diplomová práce*. VŠCHT, Praha 2000.
- Barresi A., Baldi G.: Ind. Eng. Chem. Res. 33, 2964 (1994).
- Rajesh H., Okzan U. S.: Ind. Eng. Chem. Res. 32, 1622 (1993).

**J. Malecha, L. Melenová, and S. Skoblja** (Department of Gas Manufacture, Coke Chemistry and Atmosphere Protection, Institute of Chemical Technology, Prague): **Catalytic Combustion of Organic Compound Mixtures**

The restriction of emission of volatile organic compounds from industry, production and consumption and solvents is often based on combustion processes. The total combustion of organic mixtures to  $\text{CO}_2$  and  $\text{H}_2\text{O}$  at high temperatures increases the costs of the burning. The problem can be partly solved by the use of a suitable catalyst allowing perfect incineration at lower temperatures. The catalyst efficiency is different for various types of organic compounds and depends on the mechanism of reactions occurring on the catalyst surface. The combustions of compound mixtures and commercial thinners were measured and two types of platinum and oxide catalysts were tested. Monitoring of concentration of organic compounds was carried out by continuous recording with a FID detector and by GC-MS analysis of intermediate combustion products.